

К теории дифракции света в фотонных кристаллах с учетом межслоевой неупорядоченности

© В.А. Кособукин

Физико-технический институт им. А.Ф. Иоффе Российской академии наук,
194021 Санкт-Петербург, Россия

E-mail: Vladimir.Kosobukin@mail.ioffe.ru

(Поступила в Редакцию 13 января 2005 г.)

На основе электродинамического метода функций Грина построена аналитическая теория брэгговской дифракции поляризованного света в фотонных кристаллах, имеющих плотноупакованную структуру. Для фотонных кристаллов на основе опалов вычислена интенсивность брэгговской дифракции, в которой учитываются периодическая модуляция диэлектрической проницаемости, наличие оптической границы кристалла и межслоевой неупорядоченности, обычно возникающей при росте образцов. Подробно исследовано влияние на дифракцию структурного беспорядка, обусловленного случайной упаковкой ростовых слоев. Для получающейся случайной двойникованной ГЦК структуры вычислены усредненные структурный фактор и сечения рассеяния (дифракции), зависящие от линейной поляризации падающей и рассеянной волн. Численными примерами показано, что представленная теория применима для анализа и обработки экспериментальных картин дифракции реальных фотонных кристаллов с одномерно разупорядоченной плотноупакованной структурой.

Работа выполнена при поддержке Российского фонда фундаментальных исследований (грант № 04-02-17592).

1. Введение

Явление дифракции волн разной физической природы (рентгеновских лучей, нейтронов, электронов) лежит в основе методов изучения атомной структуры кристаллов [1] и неупорядоченных твердых тел [2]. В то же время брэгговская дифракция волн в периодических структурах (кристаллах) является причиной образования запрещенных зон энергетического спектра [1,3]. Главным признаком периодических диэлектрических структур, называемых фотонными кристаллами, является наличие стоп-зон, т. е. запрещенных зон электромагнитного спектра для определенных направлений в кристалле, или полной запрещенной зоны для всех направлений [4]. Этими обстоятельствами обусловлен огромный интерес к созданию и исследованию фотонных кристаллов, обладающих запрещенными зонами в разных областях спектра, от микроволновой [5,6] до видимой [6–9].

В рентгеновском спектре стоп-зоны чрезвычайно узкие, а образование полной запрещенной зоны невозможно, так как пространственная модуляция диэлектрической проницаемости, определяющая ширину стоп-зон, имеет величину $\sim 10^{-5}$ [3]. Как следствие в рентгеновских кристаллах имеют дело с угловыми (дирекционными) измерениями картин дифракции [1], а не со спектроскопией стоп-зон. В противоположность этому для фотонных кристаллов первостепенный интерес представляет наличие достаточно широких запрещенных полос в видимом и длинноволновых диапазонах энергетического спектра. Для изучения таких запрещенных зон используются спектроскопические методы, преимущественно методы отражения и пропускания (см., например [6–8,10,11]).

Исследования брэгговской дифракции света в фотонных кристаллах, которые начались совсем недавно [12–14], обнаруживают качественно новые эффекты по сравнению с рентгеноструктурным анализом атомных кристаллов. В частности, было продемонстрировано [14], что брэгговские рефлексы в видимом свете не только дают прямую информацию о пространственной структуре фотонного кристалла, но служат индикатором образования энергетических стоп-зон для определенных направлений в кристалле. Следовательно, обращение к дифракционному эксперименту позволяет эмпирически выделить каналы брэгговской дифракции, ответственные за образование конкретных стоп-зон. В связи с этим актуальным становится анализ основных особенностей дифракции света, на которые в реальных фотонных кристаллах влияют преломление света, разупорядоченность структуры и т. д.

Цель данной работы — построение теории брэгговской дифракции видимого света для реальных фотонных кристаллов и вычисление практически важных наблюдаемых величин. Теория формулируется в аналитической форме на основе метода электродинамических функций Грина, при этом разделяются эффекты преломления света на границе кристалла и дифракции света на брэгговских плоскостях в кристалле. Применительно к фотонным кристаллам на основе опалов рассматривается также влияние на брэгговскую дифракцию ростового межслоевого беспорядка. Содержание статьи заключается в следующем. В разд. 2 рассматривается общая постановка задачи, в разд. 3 вычисляется интенсивность дифракции линейно поляризованных волн в фотонном кристалле. Структурный фактор анализируется в разд. 4 для отдельных слоев и ГЦК решеток, а в разд. 5 — для случайной упаковки слоев.

2. Общие соотношения

Функцию диэлектрической проницаемости идеального фотонного кристалла представим в виде

$$\varepsilon(\mathbf{r}) = \varepsilon_0 + \Delta\varepsilon(\mathbf{r}). \quad (1)$$

Здесь фоновая постоянная

$$\varepsilon_0 = \frac{1}{V} \int_V d\mathbf{r} \cdot \varepsilon(\mathbf{r}) \quad (2)$$

соответствует усреднению по объему кристалла V . Вклад $\Delta\varepsilon(\mathbf{r}) = \Delta\varepsilon(\mathbf{r} + \hat{\mathbf{a}}_i)$, периодичный с векторами основных трансляций кристаллической решетки $\hat{\mathbf{a}}_i$, отвечает за процессы брэгговской дифракции. При этом справедливо разложение в ряд Фурье

$$\begin{aligned} \Delta\varepsilon(\mathbf{r}) &= \sum_{\mathbf{b}(\neq 0)} \Delta\varepsilon_{\mathbf{b}} e^{i\mathbf{b} \cdot \mathbf{r}}, \\ \Delta\varepsilon_{\mathbf{b}} &= \frac{1}{v_0} \int_{v_0} d\mathbf{r} \cdot e^{-i\mathbf{b} \cdot \mathbf{r}} \Delta\varepsilon(\mathbf{r}) = \Delta\varepsilon_{-\mathbf{b}}^*, \end{aligned} \quad (3)$$

где v_0 — объем элементарной ячейки, \mathbf{b} — вектор обратной решетки, при этом $\Delta\varepsilon_{\mathbf{b}=0} = 0$. Кинематика процессов дифракции определяется ориентацией кристаллографических (брэгговских) плоскостей, каждая из которых перпендикулярна своему вектору \mathbf{b} . При разупорядочении кристалла представление (3), выражающее наличие дальнего порядка, становится неприменимым, однако ближний порядок и связанные с ним особенности дифракции сохраняются, и это находит применение для структурного анализа некристаллических твердых тел [2].

Будем считать, что фотонный кристалл занимает полупространство ($z > 0$), в котором диэлектрическая функция выражается формулой (1), а фоновая постоянная — формулой (2). В нулевом приближении ($\Delta\varepsilon = 0$) учитываем только фоновую диэлектрическую проницаемость с помощью функции $\varepsilon^0(z)$, которая равна ε_1 , если $z < 0$, и ε_0 , если $z > 0$. Наличие скачка диэлектрического фона $\varepsilon^0(z)$ определяет оптическую границу фотонного кристалла $z = 0$, от которой свет отражается зеркально независимо от ориентации кристаллографических плоскостей. Для монохроматического (с частотой ω) света электрическое поле \mathbf{E}^0 и тензорная функция Грина \hat{G}^0 нулевого приближения, а также полное поле \mathbf{E} определяются следующими уравнениями электродинамики:

$$\begin{aligned} [\text{rot rot} - k_0^2 \varepsilon^0(z) \hat{I}] \{ \mathbf{E}^0(\mathbf{r}), \hat{G}^0(\mathbf{r}, \mathbf{r}'), \mathbf{E}(\mathbf{r}) \} \\ = \{ 0, \hat{I} \delta(\mathbf{r} - \mathbf{r}'), k_0^2 \Delta\varepsilon(\mathbf{r}) \mathbf{E}(\mathbf{r}) \}. \end{aligned} \quad (4)$$

Здесь $k_0 = \omega/c$, c — скорость света в вакууме, \hat{I} — единичная матрица с элементами $I_{\alpha\beta} = \delta_{\alpha\beta}$, α и β — декартовы индексы, $\delta_{\alpha\beta}$ — символ Кронекера, $\Delta\varepsilon(\mathbf{r}) = 0$ вне кристалла. Решения уравнений (4) $\mathbf{E}^0(\mathbf{r})$ и $\hat{G}^0(\mathbf{r}, \mathbf{r}')$,

удовлетворяющие на поверхности $z = 0$ максвелловским граничным условиям по z , приведены в Приложении I.

При наличии возмущения $\Delta\varepsilon(\mathbf{r})$ полное электрическое поле излучения вне фотонного кристалла ($z < 0$) выражается соотношением

$$E_{\alpha}(\mathbf{r}) = E_{\alpha}^0(\mathbf{r}) + k_0^2 \sum_{\beta} \int d\mathbf{r}' \cdot G_{\alpha\beta}^0(\mathbf{r}, \mathbf{r}') \cdot \Delta\varepsilon(\mathbf{r}') \cdot \tilde{E}_{\beta}(\mathbf{r}'); \quad (5)$$

здесь и далее тильдой обозначается поле в кристалле ($z' > 0$). Полное поле, учитывающее дифракцию света на рельефе $\Delta\varepsilon(\mathbf{r})$, определяется интегральным уравнением

$$\tilde{E}_{\beta}(\mathbf{r}) = \tilde{E}_{\beta}^0(\mathbf{r}) + k_0^2 \sum_{\gamma} \int d\mathbf{r}' \cdot \tilde{G}_{\beta\gamma}^0(\mathbf{r}, \mathbf{r}') \cdot \Delta\varepsilon(\mathbf{r}') \cdot \tilde{E}_{\gamma}(\mathbf{r}'). \quad (6)$$

При решении уравнений (4)–(6) предполагаем, что из среды с $z < 0$ на поверхность кристалла $z = 0$ под углом θ (рис. 1, *a*) падает волна с линейной поляризацией σ (далее p или s), амплитудой E_{σ}^{inc} и волновым вектором

$$\begin{aligned} \mathbf{K} &= \boldsymbol{\kappa} + \mathbf{e}_z k_1, \quad \boldsymbol{\kappa} = \sqrt{\varepsilon_1} k_0 \sin \theta (\mathbf{e}_x \cos \varphi + \mathbf{e}_y \sin \varphi), \\ k_1 &= \sqrt{\varepsilon_1} k_0 \cos \theta. \end{aligned} \quad (7)$$

Здесь и далее \mathbf{e}_{α} — декартовы орты „оптической“ системы координат, θ — полярный и φ — азимутальный углы. При $z < 0$ первое из уравнений (4) имеет решение

$$\begin{aligned} E_{\alpha}^0(\mathbf{r}) &= E_{\sigma}^{\text{inc}} e_{\alpha}^{\sigma}(\mathbf{K}) \exp(i\boldsymbol{\kappa} \cdot \boldsymbol{\rho}) \\ &\times [\exp(ik_1 z) + r_{\sigma}^0(\boldsymbol{\kappa}) \exp(-ik_1 z)] \end{aligned} \quad (8)$$

для касательных ($\alpha = x, y$) компонент поля и $E_z^0(\mathbf{r}) = (i/k_1^2) d(\boldsymbol{\kappa} \cdot \mathbf{E}^0)/dz$ для нормальной компоненты, где $\mathbf{r} = (\boldsymbol{\rho}, z)$, $\boldsymbol{\rho} = (x, y)$. Орты поляризации поля (8) выражаются формулами

$$\begin{aligned} \mathbf{e}^p(\mathbf{K}) &= (\mathbf{e}_x \cos \varphi + \mathbf{e}_y \sin \varphi) \cos \theta - \mathbf{e}_z \sin \theta, \\ \mathbf{e}^s(\mathbf{K}) &= -\mathbf{e}_x \sin \varphi + \mathbf{e}_y \cos \varphi \end{aligned} \quad (9)$$

для p - и s -поляризованной волн соответственно. Коэффициенты отражения r_{σ}^0 этих волн от границы $z = 0$ имеют вид

$$r_p^0 = \frac{\varepsilon_1 k - \varepsilon_0 k_1}{\varepsilon_1 k + \varepsilon_0 k_1}, \quad r_s^0 = \frac{k_1 - k}{k_1 + k}, \quad (10)$$

где $k(\boldsymbol{\kappa}) = \sqrt{\varepsilon_0 k_0^2 - \boldsymbol{\kappa}^2}$. В кристалле ($z > 0$) касательные компоненты поля, входящего в (6) в качестве внешнего, равны

$$\tilde{E}_{\alpha}^0(\mathbf{r}) = E_{\sigma}^{\text{inc}} t_{\sigma}^0(\boldsymbol{\kappa}) e_{\alpha}^{\sigma}(\mathbf{Q}) \exp(i\mathbf{Q} \cdot \mathbf{r}), \quad (11)$$

где $t_{\sigma}^0 = 1 + r_{\sigma}^0$. Связь между векторами

$$\mathbf{Q} = \boldsymbol{\kappa} + \mathbf{e}_z k, \quad k = \sqrt{\varepsilon_0} k_0 \cos \vartheta \quad (12)$$

и \mathbf{K} из (7) определяется законом преломления света $\sqrt{\varepsilon_1} \sin \theta = \sqrt{\varepsilon_0} \sin \vartheta = \boldsymbol{\kappa}/k_0$ (условием сохранения вектора $\boldsymbol{\kappa}$) на границе $z = 0$ (рис. 1, *a*), причём орты $\mathbf{e}^{\sigma}(\mathbf{Q})$

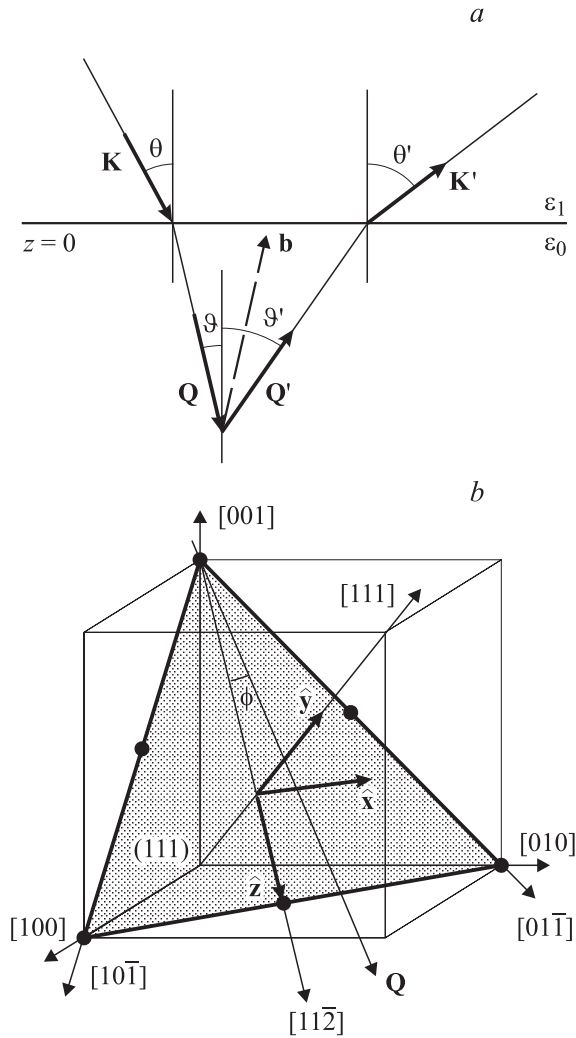


Рис. 1. Геометрия задачи. *a* — преобразование волн при дифракции света в кристалле. Волновому вектору \mathbf{K} (\mathbf{K}') падающей (вторичной) волны соответствует вектор \mathbf{Q} (\mathbf{Q}') внутри кристалла, причем $\mathbf{Q} + \mathbf{b} = \mathbf{Q}'$, где \mathbf{b} — вектор обратной решетки. *b* — основные направления и плоскости, используемые при анализе дифракции света в ГЦК решетке опалов.

получаются из (9) при замене угла $\theta \rightarrow \vartheta$. Волновые векторы рассеянной волны \mathbf{Q}' внутри кристалла и \mathbf{K}' вне его получаются путем замен $\varphi \rightarrow \varphi'$, $\vartheta \rightarrow \pi - \vartheta'$ и $\theta \rightarrow \pi - \theta'$ в выражениях вида (7), (9) для \mathbf{K} и (12) для \mathbf{Q} , где углы ϑ' и θ' отсчитываются от отрицательного направления орта \mathbf{e}_z . Для упругого процесса дифракции $|\mathbf{Q}'| = |\mathbf{Q}| = \sqrt{\epsilon_0} k_0$ и $|\mathbf{K}'| = |\mathbf{K}| = \sqrt{\epsilon_1} k_0$.

3. Наблюдаемые оптические величины

Брэгговская дифракция волн представляет собой разновидность когерентного упругого рассеяния, которое проявляется при длинах волн, сопоставимых с пространственным периодом рассеивающей среды. При анализе атомной структуры обычно является достаточным борновское приближение теории рассеяния (дифракции) [2].

Это справедливо и для опалоподобных фотонных кристаллов, обладающих малым оптическим контрастом $|\Delta\epsilon|/\epsilon_0 \ll 1$. Вычислим наблюдаемые характеристики дифракции в низшем по $\Delta\epsilon$ (борновском) приближении, положив $\tilde{\mathbf{E}} \approx \tilde{\mathbf{E}}^0(\mathbf{r}) = \tilde{\mathbf{E}}^0(\mathbf{Q}) \exp(i\mathbf{Q} \cdot \mathbf{r})$ с учетом (11) в выражениях (5) и (6). Тогда \mathbf{E} имеет ту же поляризацию σ , что и внешнее поле \mathbf{E}^0 . Поле вне кристалла $\mathbf{E}' = \mathbf{E} - \mathbf{E}^0$ найдем из (5), используя представление (I.1) для функции Грина $\tilde{G}^0(\mathbf{r}, \mathbf{r}')$. Вычисление интеграла по κ в (I.1) методом стационарной фазы [15,16] приводит к следующему асимптотическому выражению для поля излучения в обратную полусферу ($z < 0$, $\sqrt{\epsilon_1} k_0 r \gg 1$):

$$E'_\alpha(\mathbf{r}) = -\frac{i\sqrt{\epsilon_1} k_0^3 \cos \theta'}{2\pi} \frac{e^{i\sqrt{\epsilon_1} k_0 r}}{r} \sum_\beta D_{\alpha\beta}^0(0^-, 0^+; \kappa') \times \left(\int_V d\mathbf{r}' \cdot \Delta\epsilon(\mathbf{r}') e^{-i\mathbf{q} \cdot \mathbf{r}'} \right) \tilde{E}_\beta^0(\mathbf{Q}). \quad (13)$$

Для задачи излучения из кристалла тензорная функция Грина $\tilde{D}^0(z, z'; \kappa)$ в смешанном (z, κ) -представлении дается формулами (I.3), (I.4), (I.6) и (I.7) из Приложения I. Вектор κ' выражается формулой (7) через углы θ' и φ' вектора \mathbf{K}' , направленного в точку наблюдения $\mathbf{r} = (\rho, z) = r[(\mathbf{e}_x \cos \varphi' + \mathbf{e}_y \sin \varphi') \sin \theta' - \mathbf{e}_z \cos \theta']$ вне кристалла. В (13) введен вектор рассеяния света внутри кристалла

$$\mathbf{q} = \mathbf{Q}' - \mathbf{Q}. \quad (14)$$

Определив волновые векторы \mathbf{Q} и \mathbf{Q}' формулой (12), для безразмерных величин

$$\xi_\alpha = \frac{1}{k_0 \sqrt{\epsilon_0}} q_\alpha \quad (15)$$

в „оптической“ системе координат с осями \mathbf{e}_α получаем

$$\begin{aligned} \xi_x &= \sin \vartheta' \cos \varphi' - \sin \vartheta \cos \varphi, \\ \xi_y &= \sin \vartheta' \sin \varphi' - \sin \vartheta \sin \varphi, \\ \xi_z &= -(\cos \vartheta' + \cos \vartheta). \end{aligned} \quad (16)$$

Вычислим вне кристалла ($z \rightarrow -\infty$) величины вектора Пойнтинга $S_\sigma^{\text{inc}} = c\sqrt{\epsilon_1} |\mathbf{E}_\sigma^{\text{inc}}|^2 / 8\pi$ падающей волны (8) с поляризацией σ и $S_{\sigma'}' = c\sqrt{\epsilon_1} |\mathbf{E}_{\sigma'}'|^2 / 8\pi$ рассеянной волны (13) с поляризацией σ' . Их отношения $S_{\sigma'}' / S_\sigma^{\text{inc}}$ определяют сечения рассеяния (дифракции)

$$\begin{aligned} \frac{dW(\sigma \rightarrow \sigma')}{d\Omega'} &= \frac{k_0^4}{16\pi^2} \left| \int_V d\mathbf{r} \cdot \Delta\epsilon(\mathbf{r}) e^{-i\mathbf{q} \cdot \mathbf{r}} \right|^2 \cdot |t_\sigma^0(\kappa)|^2 \\ &\times w_{\sigma\sigma'}(\mathbf{Q}, \mathbf{Q}') \cdot |t_{\sigma'}^0(\kappa')|^2 \end{aligned} \quad (17)$$

во всех каналах $\mathbf{K}, \sigma \rightarrow \mathbf{K}', \sigma'$, определяемых поляризациями падающей σ и дифрагировавшей σ' волн.

В (17) $d\Omega' = \sin \theta' d\theta' d\varphi'$ — элемент телесного угла, а величины

$$w_{ss} = \cos^2(\varphi' - \varphi),$$

$$w_{pp} = \cos^2 \theta' [\cos \vartheta \cos(\varphi' - \varphi) - \sin \vartheta \operatorname{tg} \vartheta']^2,$$

$$w_{sp} = \cos^2 \theta' \sin^2(\varphi' - \varphi), \quad w_{ps} = \cos^2 \vartheta \sin^2(\varphi' - \varphi) \quad (18)$$

вычислены с учетом функций (I.4), (I.6) и (I.7). Согласно (17) и (18), при дифракции света в плоскости падения света на кристалл ($\varphi' = \varphi$, $w_{sp} = w_{ps} = 0$) деполяризация отсутствует.

Согласно (17), основные особенности дифракции определяются величиной

$$\left| \int_V d\mathbf{r} \cdot \Delta \varepsilon(\mathbf{r}) \cdot e^{-i\mathbf{q} \cdot \mathbf{r}} \right|^2 = v_0 V |\Delta \varepsilon_{\mathbf{q}}|^2 S(\mathbf{q}), \quad (19)$$

которая включает структурный фактор

$$S(\mathbf{q}) = \left| \frac{1}{\sqrt{N}} \sum_{\mathbf{n}} e^{-i\mathbf{q} \cdot \mathbf{R}_{\mathbf{n}}} \right|^2 = \frac{1}{N} \sum_{\mathbf{n}, \mathbf{n}'} e^{-i\mathbf{q} \cdot (\mathbf{R}_{\mathbf{n}} - \mathbf{R}_{\mathbf{n}'})}, \quad (20)$$

где N — число ячеек в объеме кристалла $V = v_0 N$. Форм-фактор

$$\Delta \varepsilon_{\mathbf{q}} = \frac{1}{v_0} \int_V d\mathbf{r} \cdot \Delta \varepsilon(\mathbf{r}) \cdot e^{-i\mathbf{q} \cdot \mathbf{r}} \quad (21)$$

получается при интегрировании по кристаллической ячейке Вигнера-Зейтца объема v_0 с центром $\mathbf{R}_{\mathbf{n}} = 0$. При этом для ГЦК решетки, построенной из плотноупакованных диэлектрических шаров одного размера, $\varepsilon_0 = \varepsilon_i f + \varepsilon_e (1-f)$ согласно (2), где $\varepsilon_i (\varepsilon_e)$ — диэлектрическая постоянная внутри (вне) шаров, $f = \pi\sqrt{2}/6 \approx 0.74$ — фактор заполнения.

Угловая зависимость и частотный спектр интенсивности рассеяния определяются величинами (17). Обсудим на их основе брэгговскую дифракцию света при наличии случайной упаковки ростовых слоев, характерной для самоорганизующихся систем, таких как синтетические опалы [12–14,17] и родственные им фотонные кристаллы [18]. При росте опалов монодисперсные шары a -SiO₂ субмикронного диаметра a образуют плотноупакованные (гексагональные) слои. Такие двумерные кристаллы образуют плотную упаковку в направлении оси роста трехмерной структуры. При этом гексагональные слои могут занимать одно из положений A, B, C , известных для ГЦК решетки [1]. В получающейся плотноупакованной структуре положения двух последовательных слоев разные, а сдвиг слоя из одного положения (например, A) в соседнее положение B или C определяется вектором трансляции \mathbf{u}_I или \mathbf{u}_{II} . В идеальной ГЦК решетке реализуется только один из этих векторов, а в реальных опалах выбор вектора трансляции \mathbf{u}_I или \mathbf{u}_{II} является вероятностным событием.

Случайный характер чередования слоев A, B и C предполагает, что наблюдаемые величины (17) следует

усреднить, причем в случае плотной упаковки одинаковых шаров усредняется только структурный фактор (20). Суммирование по узлам $\mathbf{n} = (\mathbf{n}_{\parallel}, l)$ в (20) разделим на внутрислоевое (по \mathbf{n}_{\parallel}) и межслоевое (по l) и используем представление $\mathbf{R}_{\mathbf{n}' - \mathbf{n}} \equiv \mathbf{R}_{\mathbf{n}'_{\parallel} - \mathbf{n}_{\parallel}, 0} + \mathbf{R}_{0, l' - l}$, где $l(l')$ — номер слоя. Случайный вектор $\mathbf{R}_{0, l=1}$ может принимать два значения: \mathbf{u}_I или \mathbf{u}_{II} . Для случайной упаковки усреднение структурного фактора (20) дает

$$\langle S(\mathbf{q}) \rangle = S_{\parallel}(\mathbf{q}) \langle S_{\perp}(\mathbf{q}) \rangle = S_{\parallel}(\mathbf{q}) \left\langle \frac{1}{L} \sum_{l, l'=1}^L e^{-i\mathbf{q} \cdot \mathbf{R}_{0, l-l'}} \right\rangle. \quad (22)$$

Здесь $S_{\parallel}(\mathbf{q})$ — сумма вида (20), относящаяся к регулярному слою, L — число слоев вдоль оси роста структуры.

4. Дифракция на регулярной структуре

Нашей дальнейшей задачей является вычисление величин, наблюдаемых при дифракции света в опалах с учетом неупорядоченности, и их детальный анализ применительно к экспериментам [12–14]. Обсудим сначала особенности брэгговской дифракции света на двух возможных регулярных ГЦК решетках $\dots ABCABC \dots$ и $\dots ACBACB \dots$, которые далее называем ГЦК-I и ГЦК-II. Будем считать ГЦК-I основной ГЦК решеткой и относить к ней рассматриваемые кристаллографические плоскости и направления, показанные на рис. 1, b . Решетки ГЦК-I и ГЦК-II, имеющие общий гексагональный слой, получаются путем трансляций этого слоя на вектор \mathbf{a}_3 , равный \mathbf{u}_I или \mathbf{u}_{II} соответственно.

Плотнупакованные (гексагональные) слои служат структурными элементами при построении как идеальных ГЦК решеток, так и случайных плотных упаковок. Поэтому рассмотрим сначала входящий в (22) структурный фактор $S_{\parallel}(\mathbf{q})$ двумерной решетки, которая определяется двумя внутрислоевыми базисными векторами $\hat{\mathbf{a}}_i$ с $i = 1, 2$. Суммирование по узлам слоя \mathbf{n}_{\parallel} в (20) дает

$$S_{\parallel}(\mathbf{q}) = \prod_{i=1,2} S_i(\mathbf{q}) = \prod_{i=1,2} \frac{1}{N_i} \frac{\sin^2(N_i \mathbf{q} \cdot \hat{\mathbf{a}}_i / 2)}{\sin^2(\mathbf{q} \cdot \hat{\mathbf{a}}_i / 2)}, \quad (23)$$

где N_i — число узлов в направлении $\hat{\mathbf{a}}_i$. При $N_i \rightarrow \infty$ каждый сомножитель в (23) переходит в 2π -периодическую дельта-функцию

$$S_i(\mathbf{q}) = 2\pi \sum_{m_i} \delta(\mathbf{q} \cdot \hat{\mathbf{a}}_i - 2\pi m_i), \quad (24)$$

где m_i — целые числа. Для регулярной упаковки гексагональных слоев (ГЦК структура) послойное суммирование по l в (22) дает

$$S_{\perp}(\mathbf{q}) = \frac{1}{L} \frac{\sin^2(L\mathbf{q} \cdot \hat{\mathbf{a}}_3 / 2)}{\sin^2(\mathbf{q} \cdot \hat{\mathbf{a}}_3 / 2)} \xrightarrow{L \rightarrow \infty} 2\pi \sum_{m_3} \delta(\mathbf{q} \cdot \hat{\mathbf{a}}_3 - 2\pi m_3), \quad (25)$$

где m_3 — целые числа.

В случае трехмерной идеальной решетки максимумы структурного фактора (22) соответствуют нулям дельта-функций, входящих в (24) и (25), т.е. уравнениям Лауэ $\mathbf{q} \cdot \hat{\mathbf{a}}_i = 2\pi m_i$ с $i = 1, 2, 3$. Последние служат для кинематического анализа процессов дифракции в идеальной кристаллической решетке. Для этой решетки определим обратную решетку с базисными векторами $\hat{\mathbf{b}}_i$ и по ним разложим вектор рассеяния (14). Учитывая тождество $(\hat{\mathbf{a}}_i \cdot \hat{\mathbf{b}}_j) = 2\pi\delta_{ij}$, убеждаемся, что три уравнения $\mathbf{q} \cdot \hat{\mathbf{a}}_i = 2\pi m_i$ эквивалентны условиям дифракции

$$\mathbf{q} = \mathbf{b} \equiv \sum_i m_i \cdot \hat{\mathbf{b}}_i \quad (26)$$

или $\mathbf{Q}' - \mathbf{Q} = \mathbf{b}$, которые зависят от набора индексов (m_1, m_2, m_3) . В безразмерных величинах (15) и $\boldsymbol{\beta} = \mathbf{b}a/(2\pi)$ уравнение (26) принимает вид

$$\boldsymbol{\xi} = \Lambda \boldsymbol{\beta} = \Lambda \sum_i m_i \boldsymbol{\beta}_i, \quad (27)$$

где $\Lambda = \lambda/(a\sqrt{\varepsilon_0})$, $\lambda = 2\pi/k_0$ — длина волны света в вакууме, a — фиксированное расстояние между узлами гексагонального слоя. При $m_1 = m_2 = m_3 = 0$ дифракция отсутствует: $\mathbf{Q}' = \mathbf{Q}$ ($\vartheta' = \vartheta$, $\varphi' = \varphi$) согласно (26). Набор (m_1, m_2, m_3) с хотя бы одним ненулевым индексом определяет потенциально возможный максимум интенсивности (рефлекс), обусловленный дифракцией на системе кристаллических плоскостей, перпендикулярных вектору \mathbf{b} из (26). Существенно, что m_i не являются индексами Миллера (hkl) дифрагирующей плоскости и перпендикулярного к ней вектора $\mathbf{b}(hkl)$.¹ При заданных значениях ϑ , φ решения уравнений (26) или (27) определяют углы ϑ' , φ' для направления распространения дифрагировавшего света в кристалле. Вследствие ограничения $|\xi_\alpha| \leq 2$ в (27) при увеличении индексов (m_1, m_2, m_3) уменьшается величина $\lambda/(a\sqrt{\varepsilon_0})$, при которой может появиться этот рефлекс.

Чтобы исчерпывающе проанализировать кинематику дифракции света в опалах, достаточно рассмотреть две геометрии падения света (A и B). В случае A свет падает в плоскости (111) ГЦК решетки, т.е. $\mathbf{Q} \parallel (111)$, рис. 1, b . В этой геометрии, исследовавшейся недавно

¹ Для описания брэгговской дифракции в настоящей работе используются следующие системы координат. 1) „Оптическая“ система с ортами \mathbf{e}_α , в которой задаются волновые векторы (7) и (12) (рис. 1, a). 2) Кристаллографическая система с ортами $\hat{\mathbf{X}} \parallel [100]$, $\hat{\mathbf{Y}} \parallel [010]$ и $\hat{\mathbf{Z}} \parallel [001]$, относительно которой определяются индексы Миллера основной ГЦК решетки (рис. 1, b). 3) Система с ортами $\hat{\mathbf{x}}$, $\hat{\mathbf{y}}$ и $\hat{\mathbf{z}}$, в которой разделяются эффекты дифракции на гексагональных слоях и их упаковке согласно представлению (22). Индексы Миллера, с помощью которых определяются системы кристаллических плоскостей (hkl) и направление волнового вектора \mathbf{Q} в кристалле, мы относим к основной ГЦК решетке; при этом (hkl) выражается формулой (II.4) через индексы $\{m_i\}$ из уравнения (26). Для решетки ГЦК-II, которая получается при зеркальном отражении основной решетки ГЦК-I в плоскости (111), удобно рассматривать уравнение (26), используя систему координат, орты которой получаются путем инверсии ортов $\hat{\mathbf{x}}$, $\hat{\mathbf{y}}$ и $\hat{\mathbf{z}}$. Тогда при заданном направлении \mathbf{Q} параметры $\{m_i\}$ и индексы Миллера (hkl) плоскостей, ответственных за дифракцию в решетках ГЦК-I и ГЦК-II, будут отличаться знаком.

в экспериментах [12–14], можно выделить особенности, характерные для дифракции света на слоях с двумерной гексагональной решеткой. В случае B свет падает на плоскость (111) наклонно. В геометрии B , используемой в большинстве работ по оптике опалов, проявляются эффекты дифракции света на одномерной решетке, образованной плоскостями (111).

Случай А. Предположим, что волновой вектор падающей волны $\mathbf{Q} \parallel (111)$ составляет угол ϕ с направлением $[11\bar{2}]$ в ГЦК решетке, как на рис. 1, b . Выразив базисные векторы (II.1) в „оптической“ системе координат с $\mathbf{e}_z = \mathbf{Q}/Q$, имеем

$$\begin{aligned} \boldsymbol{\beta} = & -\mathbf{e}_x \frac{2}{\sqrt{3}} \left[m_1 \sin\left(\phi + \frac{\pi}{3}\right) + m_2 \sin\left(\phi - \frac{\pi}{3}\right) \right] \\ & + \mathbf{e}_z \frac{2}{\sqrt{3}} \left[m_1 \cos\left(\phi + \frac{\pi}{3}\right) + m_2 \cos\left(\phi - \frac{\pi}{3}\right) \right] \\ & + \mathbf{e}_y \alpha \left(m_3 - \frac{m_1 + m_2}{3} \right) \end{aligned} \quad (28)$$

в уравнении (27), где $\alpha = a/A$, A — расстояние между слоями, причем $\alpha = \sqrt{3}/2$ для ГЦК решетки. Подставив (16) и (28) в (27), находим, что x - и z -компоненты векторного уравнения (27) не зависят от α , т.е. формально имеют тот же вид, что в случае изолированного слоя ($\alpha \rightarrow 0$). Эта пара уравнений инвариантна относительно поворотов вектора \mathbf{Q} на углы ϕ , кратные $\pi/3$, если для каждого из эквивалентных положений гексагонального слоя сделан соответствующий выбор индексов m_1 и m_2 . В случае $\mathbf{Q} \parallel [11\bar{2}]$ ($\phi = 0$) эти уравнения $\xi_x = \Lambda(m_2 - m_1)$, $\xi_z = \Lambda(m_1 + m_2)/\sqrt{3}$ с $m_1 = m_2 = -1$ дают решения $\varphi'_1 = \pi/2$ и $\varphi'_2 = 3\pi/2$ и условие брэгговской дифракции на слое

$$\lambda_{[11\bar{2}]}(\vartheta') = \frac{a\sqrt{3\varepsilon_0}}{2} (1 + \cos \vartheta'). \quad (29)$$

Выражение (29) описывает дисперсию света по углу $0 < \vartheta' < \pi/2$, образованному в обратной полусфере направлением дифракции в плоскости $(\bar{1}\bar{1}0)$ и плоскостью (111), причем $a\sqrt{3\varepsilon_0}/2 < \lambda < a\sqrt{3\varepsilon_0}$.

Чтобы рассмотреть дифракцию света на трехмерных ГЦК решетках, добавим третье уравнение $\xi_y = \Lambda\alpha(3m_3 - m_1 - m_2)$ из (27), которое с учетом (29) при $m_1 = m_2 = -1$ дает

$$\operatorname{tg} \frac{\vartheta'}{2} = \frac{\sqrt{3}\alpha}{2 \sin \varphi'_{1,2}} \left(m_3 + \frac{2}{3} \right). \quad (30)$$

Для решетки ГЦК-I уравнение (30) имеет два решения: $\vartheta'_1 = 70.5^\circ$ при $\varphi'_1 = \pi/2$, $m_3 = 0$ и $\vartheta'_2 = 39^\circ$ при $\varphi'_2 = 3\pi/2$, $m_3 = -1$. Соотношение (II.4) показывает, что этим решениям соответствует дифракция света на плоскостях (002) и $(\bar{1}\bar{1}1)$ соответственно. При других значениях m_3 из (30) следует, что $\vartheta' > \pi/2$, т.е. свет дифрагирует в прямую полусферу. Аналогично, для решетки ГЦК-II в обратной полусфере получаются два

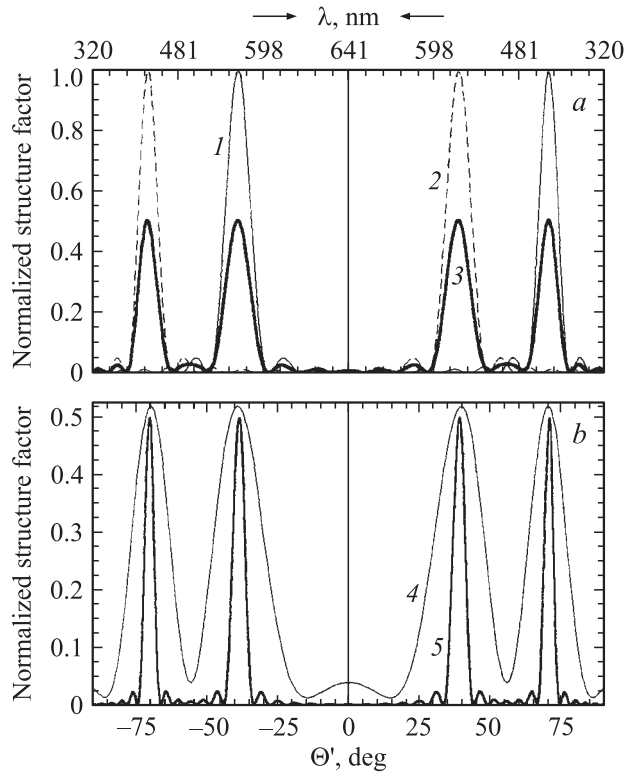


Рис. 2. Зависимости нормированных структурных факторов $S_{\perp}^{I,II}/L$ от угла Θ' при $\mathbf{Q} \parallel [11\bar{2}]$ для структур ГЦК-I и ГЦК-II, состоящих из L гексагональных слоев. *a* — величины S_{\perp}^I/L (1), S_{\perp}^{II}/L (2) и $(S_{\perp}^I + S_{\perp}^{II})/(2L)$ (3) при $L = 10$; *b* — величина $(S_{\perp}^I + S_{\perp}^{II})/(2L)$ при $L = 5$ (4) и $L = 20$ (5). Вычислено по формуле (25) при $a\sqrt{\epsilon_0} = 370$ nm, что в случае опала с $\sqrt{\epsilon_0} = 1.37$ соответствует радиусу $a/2 = 135$ nm шаров a -SiO₂. Зависимость брэгговской длины волны λ от угла Θ' , равного $\Theta' = \vartheta'$ при $\varphi' = \pi/2$ и $\Theta' = -\vartheta'$ при $\varphi' = 3\pi/2$, определяется формулой (29).

решения, зеркально симметричные предыдущим относительно плоскости (111): $\vartheta'_1 = 39^\circ$ при $\varphi'_1 = \pi/2$, $m_3 = 1$ и $\vartheta'_2 = 70.5^\circ$ при $\varphi'_2 = 3\pi/2$, $m_3 = 0$.

На рис. 2 показаны угловые зависимости нормированных структурных факторов для решеток ГЦК-I и ГЦК-II, состоящих из небольшого числа гексагональных слоев L . Величины $S_{\perp}^{I,II}(\mathbf{q})/L$ рассчитаны по формуле (25) как функции угла $\Theta' = \vartheta'$ при $\varphi' = \pi/2$, т.е. выше плоскости (111), и $\Theta' = -\vartheta'$ при $\varphi' = 3\pi/2$ (ниже этой плоскости), а шкала $\lambda(\Theta')$ соответствует формуле (29). Из рис. 2, *a* видны максимумы величины S_{\perp}^I/L при найденных из (30) значениях углов $\Theta' = -39^\circ$ и $\Theta' = 70.5^\circ$, а максимумы S_{\perp}^{II}/L — при $\Theta' = -70.5^\circ$ и $\Theta' = 39^\circ$. На рис. 2 показаны также величины $(S_{\perp}^I + S_{\perp}^{II})/(2L)$, которые выражают форм-фактор смеси ГЦК-I и ГЦК-II структур, имеющих общую ростовую ось и одинаковое число слоев L . Как видно из рис. 2, *b*, уширение всех дифракционных максимумов $|\Delta\Theta'| \sim 1/L$ связано с малым числом слоев в ГЦК структурах: согласно (25), $S_{\perp}^{I,II}(\mathbf{q})/L = 1$ при $L = 1$.

Случай В. При падении света под углом $\vartheta \neq \pi/2$ к направлению $[\bar{1}\bar{1}\bar{1}]$ в плоскости, образующей угол ϕ с направлением $[11\bar{2}]$, выразим величину (28) в ортах $\mathbf{e}'_x = \mathbf{e}_x$, $\mathbf{e}'_y = \mathbf{e}_z$, $\mathbf{e}'_z = -\mathbf{e}_y$

$$\begin{aligned} \beta = & -\mathbf{e}'_x \frac{2}{\sqrt{3}} \left[m'_1 \sin\left(\phi + \frac{\pi}{3}\right) + m'_2 \sin\left(\phi - \frac{\pi}{3}\right) \right] \\ & + \mathbf{e}'_y \frac{2}{\sqrt{3}} \left[m'_1 \cos\left(\phi + \frac{\pi}{3}\right) + m'_2 \cos\left(\phi - \frac{\pi}{3}\right) \right] \\ & + \mathbf{e}'_z \alpha \left(\frac{m'_1 + m'_2}{3} - m'_3 \right). \end{aligned} \quad (31)$$

Отсюда следует, что при $m'_1 = m'_2 = 0$ дифракция не зависит от ϕ . При этом уравнение (27) с $\beta = -m'_3 \alpha \mathbf{e}'_z$ определяет при $m'_3 \geq 1$ дифракцию на одномерной цепочке бесструктурных плоскостей по закону зеркального отражения от них ($\vartheta' = \vartheta$ и $\varphi' = \varphi$). Брэгговские длины волн

$$\lambda(\vartheta) = \frac{2}{m'_3} \frac{a\sqrt{\epsilon_0}}{\alpha} \cos \vartheta \quad (32)$$

соответствуют периоду a/α такой структуры в однородной среде с диэлектрической постоянной ϵ_0 . При $m'_3 = 1$ из (32) находим длинноволновую границу

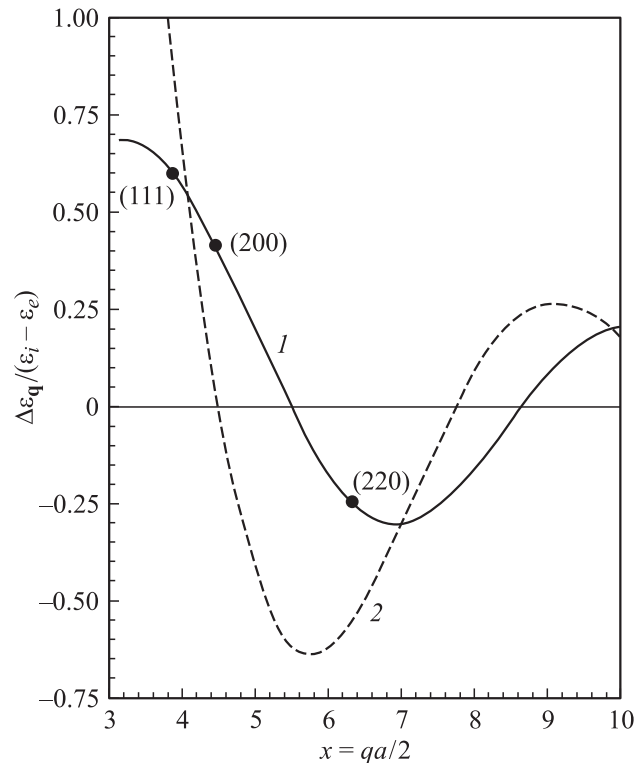


Рис. 3. Зависимость от $x = |\mathbf{q}|a/2$ величины $\Delta\epsilon_{\mathbf{q}}/(\epsilon_i - \epsilon_e)$ из (33) (кривая 1) в сравнении с функцией $F(x) = (\pi/\sqrt{2})(\sin x - x \cos x)/x^3$ (кривая 2). Вычислено для ГЦК решетки ($f = 0.74$). Точки (hkl) на кривой 1 соответствуют условиям $|\mathbf{q}| = |\mathbf{b}(hkl)|$ с векторами обратной решетки $\mathbf{b}(hkl)$, относящимися к плоскостям (111), (200) и (220).

$\lambda(0) = 2a\sqrt{2\varepsilon_0/3}$ дифракции на системе плоскостей с $\mathbf{b} \parallel [111]$ в ГЦК решетке, а при $m'_3 \geq 2$ — верхние границы $\lambda(0)/m'_3$ для дифракции более высоких порядков. Эти выводы одинаковы для решеток ГЦК-I и ГЦК-II. Заметим, что дифракция типа $m'_1 = m'_2 = 0$ и $m'_3 = 1$ проявляется в спектрах отражения (пропускания) света от ростовой плоскости (111) опалов, которые исследуются в большинстве работ. Картина дифракции существенно усложняется при уменьшении длины волны, когда $m'_1 \neq 0$ или $m'_2 \neq 0$ в (31).

Согласно (17), для того чтобы максимум структурного фактора, заданный вектором \mathbf{b} , был наблюдаемым, необходимо чтобы соответствующая величина $|\Delta\varepsilon_b|^2$ была достаточно большой. Простейшая оценка форм-фактора $\Delta\varepsilon_b$ получается из (21) в изотропном приближении, когда многогранная элементарная ячейка Вигнера-Зейгца ГЦК решетки заменяется шаром равновеликого объема $v_0 = a^3/\sqrt{2}$. Вычисление интеграла (21) дает

$$\Delta\varepsilon_q = (\varepsilon_i - \varepsilon_e) \left[F\left(\frac{qa}{2}\right) - F\left(\frac{qa}{2f^{1/3}}\right) \right]. \quad (33)$$

Здесь $F(x) = (\pi/\sqrt{2})(\sin x - x \cos x)/x^3$, f — фактор заполнения ГЦК решетки шарами, $\varepsilon_i(\varepsilon_e)$ — диэлектрическая проницаемость внутри (вне) шаров. Кривая 1 на рис. 3 показывает нормированный форм-фактор $F(x) - F(x/f^{1/3})$ в сравнении с форм-фактором отдельного шара $F(x)$ (кривая 2). Точки (hkl) на кривой 1 дают величины $\Delta\varepsilon_b/(\varepsilon_i - \varepsilon_e)$, вычисленные из (33) при $\mathbf{q} = \mathbf{b}(hkl)$ для плоскостей (111), (200) и (220). Далее рассмотрим каким образом особенности дифракции света, рассмотренные выше для ГЦК решетки, модифицируются при учете ростовой неупорядоченности опалов.

5. Дифракция на случайной плотной упаковке слоев

Для случайной упаковки L гексагональных слоев среднее значение входящего в (22) структурного фактора записывается в виде [19]

$$\langle S_{\perp}(\mathbf{q}) \rangle = \sum_{l=-L+1}^{L-1} \left(1 - \frac{|l|}{L} \right) \langle e^{-i\mathbf{q} \cdot \mathbf{R}_{0,l}} \rangle. \quad (34)$$

Как указано выше, при плотной упаковке гексагональных слоев последующий слой получается путем трансляции предыдущего на вектор \mathbf{u}_I или \mathbf{u}_{II} . Введем коэффициент корреляции упаковки p , равный вероятности того, что векторы двух последовательных трансляций слоев одинаковы. При $p = 0$ образуется трехмерная гексагональная плотноупакованная (ГПУ) решетка, а при трансляциях на вектор $\mathbf{u}_I(\mathbf{u}_{II})$ с вероятностью $p = 1$ образуется структура ГЦК-I (ГЦК-II). Если $0 < p < 1$, то получается статистическая смесь ГЦК и ГПУ структур

с дефектами упаковки. В последнем случае матрица

$$\hat{M}(\mathbf{q}) = \begin{pmatrix} pe^{-i\mathbf{q} \cdot \mathbf{u}_I} & (1-p)e^{-i\mathbf{q} \cdot \mathbf{u}_{II}} \\ (1-p)e^{-i\mathbf{q} \cdot \mathbf{u}_I} & pe^{-i\mathbf{q} \cdot \mathbf{u}_{II}} \end{pmatrix} \quad (35)$$

определяет среднее значение фазового множителя $\langle e^{-i\mathbf{q} \cdot \mathbf{R}_{0,l}} \rangle = (1/2)\mathbf{e}^T \cdot \hat{M}(\mathbf{q}) \cdot \mathbf{e}$, где \mathbf{e} — матрица-вектор, транспонирование которой дает $\mathbf{e}^T = (1, 1)$, причем $\mathbf{e}^T \cdot \mathbf{e} = 2$. Учитывая, что при $l > 0$

$$\langle e^{-i\mathbf{q} \cdot \mathbf{R}_{0,l}} \rangle = \frac{1}{2} \mathbf{e}^T \cdot \hat{M}^l(\mathbf{q}) \cdot \mathbf{e}, \quad (36)$$

из (34) получаем

$$\langle S_{\perp}(\mathbf{q}) \rangle = \frac{1}{2} \mathbf{e}^T \cdot \left\{ \hat{I} + \sum_{l=1}^{L-1} \left(1 - \frac{l}{L} \right) \left[\hat{M}^l + (\hat{M}^*)^l \right] \right\} \cdot \mathbf{e}. \quad (37)$$

Суммирование в этой формуле с точностью до членов порядка $1/L \ll 1$ ($L \rightarrow \infty$) дает

$$\langle S_{\perp}(\mathbf{q}) \rangle = \frac{1}{2} \mathbf{e}^T \cdot \left[(\hat{I} - \hat{M})^{-1} + (\hat{I} - \hat{M}^*)^{-1} - \hat{I} \right] \cdot \mathbf{e}, \quad (38)$$

где \hat{I} — единичная матрица. Используя элементы матрицы (35), получаем

$$\langle S_{\perp}(\mathbf{q}) \rangle = \frac{p(1-p) \sin^2 \Delta\psi}{(1-2p) \sin^2 \psi_0 + p^2(1-2 \cos \psi_0 \cos \Delta\psi + \cos^2 \Delta\psi)}, \quad (39)$$

где

$$\Delta\psi = \frac{1}{2} \mathbf{q} \cdot (\mathbf{u}_I - \mathbf{u}_{II}), \quad \psi_0 = \frac{1}{2} \mathbf{q} \cdot (\mathbf{u}_I + \mathbf{u}_{II}). \quad (40)$$

В случае А, когда $\mathbf{Q} \parallel [11\bar{2}]$ и $\mathbf{u}_{I,II} = a(\hat{y}/\alpha \pm \hat{z}/\sqrt{3})$, из выражений (39), (40) находим усредненный структурный фактор

$$\langle S_{\perp}(\mathbf{q}) \rangle = \frac{3}{2} \frac{p(1-p)}{(2p-1)(\cos 2\psi_0 - 1) + p^2(2 \cos \psi_0 + 5/2)} \quad (41)$$

на длине волны (29), причем $\psi_0 = 4\pi \operatorname{tg}(\vartheta'/2)/(\alpha\sqrt{3})$. Заметим, что в соответствии с этим выводом в формуле (13) из [12], являющейся частным случаем (41), знаки котангенса следует поменять на знаки тангенса.

Структурный фактор (41), нормированный на единицу в максимумах, показан на рис. 4, а для плотных ($\alpha = \sqrt{3}/2$) случайных упаковок с разными коэффициентами корреляции p . Кривые 1–3 дают зависимость (41) от угла Θ' , который равен ϑ' при $\varphi' = \pi/2$ и $-\vartheta'$ при $\varphi' = 3\pi/2$, а также от длины волны (29). Видно, что при увеличении p в области $p > 0.5$ функция $\langle S_{\perp} \rangle$ существенно меняется, приближаясь при $1-p \ll 1$ к сумме угловых зависимостей, характерных для ограниченных по толщине решеток ГЦК-I и ГЦК-II. Это следует из рис. 4, б, где дано сравнение нормированной величины $\langle S_{\perp} \rangle$, вычисленной для случайной упаковки с $p = 0.8$ (кривая 4), со структурным фактором $(S_{\perp}^I + S_{\perp}^{II})/L$,

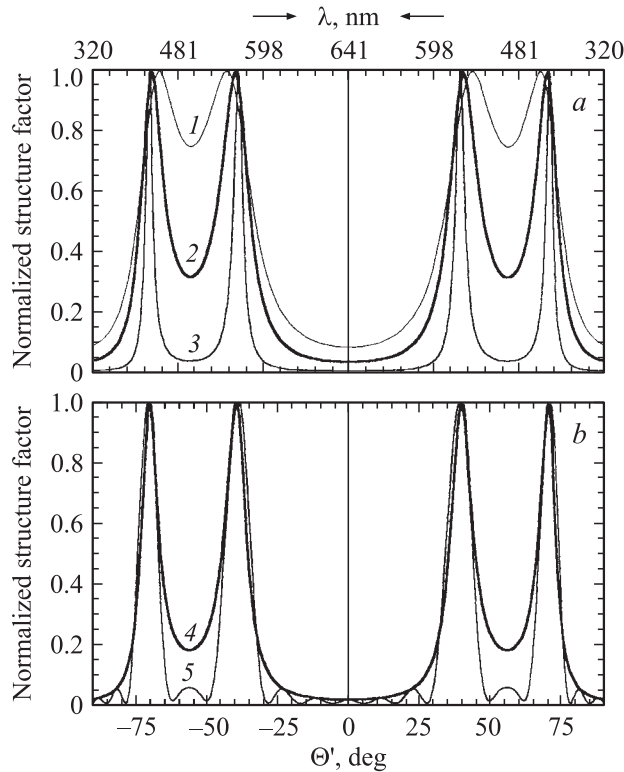


Рис. 4. Зависимость усредненного структурного фактора от Θ' при $\mathbf{Q} \parallel [11\bar{2}]$. *a* — нормированные функции $\langle S_{\perp} \rangle$ из (41) для случайных упаковок гексагональных слоев с $p = 0.65$ (1), $p = 0.75$ (2) и $p = 0.9$ (3). *b* — нормированная функция $\langle S_{\perp} \rangle$ из (41) для случайной упаковки слоев с $p = 0.8$ (4) в сравнении с функцией $(S_{\perp}^I + S_{\perp}^{II})/L$ из (25) для смеси структур ГЦК-I и ГЦК-II с числом слоев $L = 10$ (5). Вычислено при $\alpha = \sqrt{3}/2$ и тех же значениях параметров, что на рис. 2. Брэгговская длина волны λ связана с углом Θ' формулой (29).

соответствующим смеси ГЦК-I и ГЦК-II структур с числом слоев $L = 10$ (кривая 5). В области максимумов указанные зависимости весьма близки друг к другу. Учитывая, что для угловой зависимости $\langle S_{\perp} \rangle$ с $p = 0.8$ ранее было получено хорошее согласие с экспериментом [12], на основании близкого сходства с ней можно констатировать наличие согласия с экспериментом и для угловой зависимости $(S_{\perp}^I + S_{\perp}^{II})/(2L)$ с $L = 10$. Последнее означает, что для опалов, использовавшихся в экспериментах [12], характерное число гексагональных слоев в ГЦК доменах можно оценить как $\bar{L} \cong 10$.

Таким образом, в случайной плотной упаковке гексагональных слоев чередуются области регулярности (домены) ГЦК структур $\dots ABCABC \dots$ и $\dots ACBACB \dots$. Чередование таких доменов означает образование двойникованной структуры [12], причем из-за случайных сбоев регулярной упаковки длина доменов, образующих двойник, является случайной величиной. При значениях коэффициента корреляции упаковки p , близких к единице, имеются домены с достаточно большим числом слоев L , которые дают в дифракционных картинах осо-

бенности, характерные для ГЦК решеток. Как показано выше, это позволяет оценивать из угловых зависимостей интенсивности дифракции не только коэффициент корреляции p [12], но и характерный размер ГЦК доменов. В связи с этим представляется актуальным теоретически найти функцию распределения ГЦК доменов по длинам при заданной величине p и вычислить среднее значение длины и ее дисперсию с учетом сосуществования ГЦК и ГПУ доменов, дефектов упаковки и т. д.

В заключение заметим, что обсуждавшиеся эффекты межслоевой неупорядоченности не должны проявляться в стандартной геометрии зеркального отражения света от плоскостей (111), т. е. при дифракции с $m'_1 = m'_2 = 0$ на длинах волн (32). Действительно, в этом случае $\mathbf{u}'_I = \mathbf{u}'_{II}$ и $\langle e^{-i\mathbf{q} \cdot \mathbf{R}_{0,l}} \rangle = e^{-i\mathbf{q} \cdot \mathbf{u}'_{II}}$ в формуле (34), т. е. вклад данного процесса дифракции в структурный фактор (34) не зависит от случайной упаковки слоев, если слои расположены эквидистантно. Однако эффекты двойникования структуры должны проявиться в незеркальных процессах с $m'_1 \neq 0$ или $m'_2 \neq 0$.

6. Заключительные замечания

В настоящей работе развита теория брэгговской дифракции линейно поляризованного света в фотонных кристаллах с учетом его преломления на диэлектрической границе и эффектов межслоевой неупорядоченности образца. Вычислены величины, наблюдаемые методами дифракции (в зависимости от направления рассеяния) и спектроскопии (в зависимости от частоты зондирующего света). Теория может использоваться для анализа кристаллической сверхструктуры опалов и для уточнения количественных характеристик картин визуализации стоп-зон фотонных кристаллов [14]. Результаты проведенного анализа интенсивности дифракционных максимумов находятся в хорошем согласии с недавними наблюдениями дифракции [12], показавшими наличие случайной двойникованной ГЦК структуры в синтетических опалах. Сравнивая с данными экспериментов [12] результаты теории, полученные для двух моделей доменов с ГЦК решеткой, мы оценили характерный размер таких доменов в направлении роста образца. В представленной теории использовано борновское приближение для рассеяния света, т. е. она строго применима для описания эффектов простой дифракции в фотонных кристаллах с относительно слабой модуляцией диэлектрической проницаемости, таких как опалы. Однако эта теория допускает прямое обобщение, основанное на самосогласованном решении уравнений для электромагнитного поля в кристалле. Последнее необходимо в сравнительно редких случаях множественной брэгговской дифракции [20] или при описании дифракции в фотонных кристаллах с очень большой модуляцией диэлектрической постоянной.

Автор благодарен М.Ф. Лимонову и А.В. Селькину за полезные обсуждения.

Приложение I. Решение электродинамической задачи. При наличии диэлектрического тензора с компонентами $\varepsilon^0(z, \omega)\delta_{\alpha\beta}$, где функция $\varepsilon^0(z, \omega)$ равна ε_1 при $z < 0$ и ε_0 при $z > 0$, компоненты функции Грина, являющейся решением второго из уравнений (4), выражаются интегральным представлением Фурье

$$G_{\alpha\beta}^0(\mathbf{r}, \mathbf{r}'; \omega) = \int \frac{d^2\kappa}{(2\pi)^2} \exp[i\mathbf{\kappa} \cdot (\boldsymbol{\rho} - \boldsymbol{\rho}')] D_{\alpha\beta}^0(z, z'; \boldsymbol{\kappa}, \omega). \quad (\text{I.1})$$

Здесь $\mathbf{r} = (\boldsymbol{\rho}, z)$, $\boldsymbol{\rho} = \rho(\mathbf{e}_x \cos \phi + \mathbf{e}_y \sin \phi)$, $\boldsymbol{\kappa} = \kappa(\mathbf{e}_x \cos \phi + \mathbf{e}_y \sin \phi)$,

$$D_{\alpha\beta}^0(z, z'; \boldsymbol{\kappa}, \omega) = \sum_{\mu, \nu} T_{\alpha\mu}(\varphi) d_{\mu\nu}^0(z, z'; \boldsymbol{\kappa}, \omega) T_{\beta\nu}(\varphi) \quad (\text{I.2})$$

для заданного направления волнового вектора $\boldsymbol{\kappa}$. Ненулевые элементы матрицы поворота на угол φ равны $T_{xx} = T_{yy} = \cos \varphi$, $-T_{xy} = T_{yx} = \sin \varphi$ и $T_{zz} = 1$. Тензор с компонентами (I.2) имеет вид

$$\hat{D}^0 = \begin{pmatrix} d_{xx}^0 \cos^2 \varphi + d_{yy}^0 \sin^2 \varphi & (d_{xx}^0 - d_{yy}^0) \sin \varphi \cos \varphi & d_{xz}^0 \cos \varphi \\ (d_{xx}^0 - d_{yy}^0) \sin \varphi \cos \varphi & d_{xx}^0 \sin^2 \varphi + d_{yy}^0 \cos^2 \varphi & d_{xz}^0 \sin \varphi \\ d_{zx}^0 \cos \varphi & d_{zx}^0 \sin \varphi & d_{zz}^0 \end{pmatrix}. \quad (\text{I.3})$$

Компоненты $d_{\alpha\beta}^0(z, z'; \boldsymbol{\kappa}, \omega)$ получаются из второго уравнения (4) с волновым вектором $\boldsymbol{\kappa} = \mathbf{e}_x \kappa$ ($\varphi = 0$) и оператором $\{\partial/\partial \mathbf{r}\} = \{i\kappa, 0, d/dz\}$. Они разделяются для p -поляризации с индексами x и z и s -поляризации с индексом y . Функции $d_{\alpha\beta}^0(z, z')$ при $z = 0$ удовлетворяют максвелловским граничным условиям по z и выражаются через коэффициенты отражения r_σ^0 из (10) и $t_\sigma^0 = 1 + r_\sigma^0$.

Приведем выражения для компонент функции Грина $d_{\alpha\beta}^0(z, z'; \boldsymbol{\kappa}, \omega)$, записывая их символически в виде $d_{\alpha\beta}^0(m, m')$, где m и m' — номер среды (1 или 2), включающей соответственно координату точки наблюдения z и источника z' , т.е. $m = 1$ при $z < 0$ и $m' = 2'$ при $z' > 0$. Для s -поляризованных волн имеем

$$d_{yy}^0(1, 2') = \frac{i}{2k_1} t_s^0 \exp(-ik_1 z + ikz'), \quad (\text{I.4})$$

$$d_{yy}^0(2, 2') = \frac{i}{2k} \left\{ \exp[ik|z - z'|] - r_s^0 \exp[ik(z + z')] \right\}, \quad (\text{I.5})$$

а для p -поляризованных —

$$d_{xx}^0(1, 2') = \frac{ik_1}{2k_0^2 \varepsilon_1} t_p^0 \exp(-ik_1 z + ikz'). \quad (\text{I.6})$$

$$d_{zz}^0(1, 2') = \frac{\kappa}{k_1} d_{xz}^0(1, 2') = \frac{\kappa}{k} d_{zx}^0(1, 2') = \frac{\kappa^2}{k_1 k} d_{xx}^0(1, 2'), \quad (\text{I.7})$$

$$d_{xx}^0(2, 2') = \frac{ik}{2k_0^2 \varepsilon_0} \left\{ \exp[ik|z - z'|] - r_p^0 \exp[ik(z + z')] \right\}, \quad (\text{I.8})$$

$$d_{zx}^0(2, 2') = -\frac{i\kappa}{2k_0^2 \varepsilon_0} \left\{ \text{sgn}(z - z') \exp[ik|z - z'|] + r_p^0 \exp[ik(z + z')] \right\}, \quad (\text{I.9})$$

$$d_{xz}^0(2, 2') = -\frac{i\kappa}{2k_0^2 \varepsilon_0} \left\{ \text{sgn}(z - z') \exp[ik|z - z'|] - r_p^0 \exp[ik(z + z')] \right\}, \quad (\text{I.10})$$

$$d_{zz}^0(2, 2') = \frac{ik}{2k_0^2 \varepsilon_0} \left(\frac{\kappa}{k} \right)^2 \left\{ \exp[ik|z - z'|] + r_p^0 \exp[ik(z + z')] \right\} - \frac{\delta(z - z')}{\varepsilon_0 k_0^2}. \quad (\text{I.11})$$

Приложение II. В настоящей работе используются базисные векторы

$$\hat{\mathbf{a}}_1 = \frac{a}{2}(-\hat{\mathbf{x}} + \sqrt{3}\hat{\mathbf{z}}), \quad \hat{\mathbf{a}}_2 = \frac{a}{2}(\hat{\mathbf{x}} + \sqrt{3}\hat{\mathbf{z}}), \quad \hat{\mathbf{a}}_3 = a \left(\frac{1}{\sqrt{3}}\hat{\mathbf{z}} + \frac{1}{a}\hat{\mathbf{y}} \right), \quad (\text{II.1})$$

выражение в ортах $\hat{\mathbf{x}} \parallel [\bar{1}10]$, $\hat{\mathbf{y}} \parallel [111]$ и $\hat{\mathbf{z}} \parallel [11\bar{2}]$ ГЦК решетки, рис. 1, b . Векторы $\hat{\mathbf{a}}_1$ и $\hat{\mathbf{a}}_2$ определяют узлы решетки гексагонального слоя с междоузельным расстоянием a . Введение базисного вектора трансляции $\hat{\mathbf{a}}_3$, зависящего от параметра $\alpha = a/A$, позволяет рассматривать множество решеток, которые топологически эквивалентны ГЦК решетке, но имеют разные расстояния A между гексагональными слоями. Предельными случаями этих структур являются ГЦК решетка при $A = a\sqrt{2/3}$ ($\alpha = \alpha_{\max} = \sqrt{3/2}$) и изолированные слои при $A \rightarrow \infty$, $\alpha \rightarrow 0$.

На основе (II.1) для базисных векторов обратной решетки находим

$$\hat{\mathbf{b}}_1 = \frac{2\pi}{a} \left(-\hat{\mathbf{x}} + \frac{1}{\sqrt{3}}\hat{\mathbf{z}} - \frac{\alpha}{3}\hat{\mathbf{y}} \right), \quad \hat{\mathbf{b}}_2 = \frac{2\pi}{a} \left(\hat{\mathbf{x}} + \frac{1}{\sqrt{3}}\hat{\mathbf{z}} - \frac{\alpha}{3}\hat{\mathbf{y}} \right), \quad \hat{\mathbf{b}}_3 = \frac{2\pi}{a} \alpha \hat{\mathbf{y}}. \quad (\text{II.2})$$

При $\alpha \rightarrow 0$ (II.2) переходят в векторы

$$\hat{\mathbf{b}}_1^0 = \frac{2\pi}{a} \left(-\hat{\mathbf{x}} + \frac{1}{\sqrt{3}}\hat{\mathbf{z}} \right), \quad \hat{\mathbf{b}}_2^0 = \frac{2\pi}{a} \left(\hat{\mathbf{x}} + \frac{1}{\sqrt{3}}\hat{\mathbf{z}} \right), \quad \hat{\mathbf{b}}_3^0 = 0, \quad (\text{II.3})$$

которые соответствуют модели изолированного слоя. Индексы m_i в разложении (26) вектора обратной решетки \mathbf{b} по базисным векторам (II.2) связаны с индексами Миллера (hkl) плоскости, перпендикулярной вектору \mathbf{b} , следующими соотношениями

$$h : k : l = (m_1 - m_2 + m_3) : (-m_1 + m_2 + m_3) : (-m_1 - m_2 + m_3). \quad (\text{II.4})$$

Список литературы

- [1] Ч. Киттель. Введение в физику твердого тела. Мир, М. (1986).
- [2] Дж. Займан. Модели беспорядка. Мир, М. (1982).
- [3] Дж. Слэтер. Диэлектрики, полупроводники, металлы. Мир, М. (1969). Гл. 6.
- [4] J.D. Joannopoulos, R.D. Meade, J.N. Winn. Photonic Crystals. Molding of Flow of Light. Princeton Univ. Press, Princeton (1995).
- [5] E. Yablonovitch. Phys. Rev. Lett. **58**, 20, 2059 (1987); E. Yablonovitch, T.J. Gmitter, K.M. Leung. Phys. Rev. Lett. **67**, 17, 2295 (1991); E. Yablonovitch, T.J. Gmitter, R.D. Meade, A.M. Rappe, K.D. Brommer, J.A. Joannopoulos. Phys. Rev. Lett. **67**, 24, 3380 (1991).
- [6] Confined Electrons and Photons. New Physics and Applications / Eds E. Burstein, C. Weisbuch, Plenum Press, N.Y. (1995).
- [7] A. Blanco, E. Chomski, S. Grabtchak, et al. Nature **405**, 437 (2000).
- [8] V.N. Astratov, V.N. Bogomolov, A.A. Kaplyanskii, A.V. Prokofiev, L.A. Samilovich, S.M. Samoilovich, Y.A. Vlasov. Nuovo Cimento D **17**, 1349 (1995).
- [9] K. Buch, S. John. Phys. Rev. B **58**, 3, 3896 (1998).
- [10] A.V. Барышев, A.V. Анкудинов, A.A. Каплянский, В.А. Кособукин, М.Ф. Лимонов, К.Б. Самусев, Д.Е. Усвят. ФТТ **44**, 9, 1573 (2002).
- [11] A.V. Барышев, A.A. Каплянский, В.А. Кособукин, М.Ф. Лимонов, А.П. Скворцов. ФТТ **46**, 7, 1291 (2004).
- [12] A.V. Барышев, A.A. Каплянский, В.А. Кособукин, М.Ф. Лимонов, К.Б. Самусев, Д.Е. Усвят. ФТТ **45**, 3, 434 (2003).
- [13] A.V. Baryshev, A.A. Kaplyanskii, V.A. Kosobukin, M.F. Limonov, K.B. Samusev, D.E. Usvyat. Physica E **17**, 426 (2003).
- [14] A.V. Baryshev, A.A. Kaplyanskii, V.A. Kosobukin, K.B. Samusev, D.E. Usvyat, M.F. Limonov. Phys. Rev. B **70**, 11, 113 104 (2004).
- [15] Г. Джеффрис, Б. Свирлс. Методы математической физики. Т. 3. Мир, М. (1969).
- [16] В.А. Кособукин. ФТТ **39**, 3, 560 (1997).
- [17] V.N. Astratov, A.M. Adavi, S. Fricker, M.S. Skolnick, D.M. Whittacker, P.N. Pusey. Phys. Rev. B **66**, 16, 165 215 (2002).
- [18] R.M. Amos, J.G. Rarity, P.R. Tapster, T.J. Shepherd, S.C. Kitson. Phys. Rev. B **61**, 3, 2929 (2000).
- [19] W. Loose, B.J. Ackerson. J. Chem. Phys. **101**, 9, 7211 (1994).
- [20] H.M. van Driel, W.L. Vos. Phys. Phys. Rev. B **62**, 15, 9872 (2000).